



MEMÓRIA DE CÁLCULO DO PROJETO DE COBERTURA DA OBRA DE RESTAURO DA CASA NORIVAL DE FREITAS



SUMÁRIO

1	DADOS DE OBRA.....	3
1.1	NORMAS CONSIDERADAS.....	3
1.2	UNIDADES.....	3
1.3	MATERIAIS.....	3
1.4	ESTADOS LIMITES.....	3
1.4.1	SITUAÇÕES DE PROJETO.....	3
1.4.2	COMBINAÇÕES.....	4
1.4.3	COMBINAÇÕES DE CARGAS PARA A EDIFICAÇÃO (E.L.U.).....	4
2	ESTRUTURA	4
2.1	ELEMENTOS ESTRUTURAIS.....	4
2.1.1	TABELA RESUMO - BARRAS DE AÇO.....	4
2.1.2	QUANTITATIVOS.DE.SUPERFÍCIES.....	5
2.2	RESULTADOS.....	5
2.2.1	BARRAS.DE.AÇO.....	5
3	CONCLUSÃO.....	21



1 DADOS DE OBRA

1.1 Normas consideradas

ABNT NBR 6118: Projeto de estruturas de concreto - Procedimento

ABNT NBR 8800: Projeto de estruturas de aço e de estruturas mistas de aço e concreto de edifícios

ABNT NBR 6120: Ações para o cálculo de estruturas de edificações

ABNT NBR 6123: Forças devidas ao vento em edificações

ABNT NBR 14762: Dimensionamento de estruturas de aço constituídas por perfis formados a frio

1.2 Unidades

As unidades utilizadas são:

Grandeza	Unidades
Massa	quilograma (kg) e tonelada (t)
Força	quilonewton (kN) e quilograma-força (kgf)
Comprimento	metros (m), centímetros (cm) e milímetros (mm)
Área	metros quadrados (m ²), centímetros quadrados (cm ²) e milímetros quadrados (mm ²)
Tempo	segundos (s)

1.3 Materiais

Materiais utilizados							
Material		E (kgf/cm ²)	n	G (kgf/cm ²)	f _y (kgf/cm ²)	a _t (m/m°C)	g (t/m ³)
Tipo	Designação						
Aço dobrado	CF-26	200000.0	0.300	76923.08	260.00	0.000012	7.701
Notação: E: Módulo de elasticidade n: Módulo de Poisson G: Módulo de elasticidade transversal f _y : Limite elástico a _t : Coeficiente de dilatação g: Peso específico							

1.4 Estados limites

1.4.1 Situações de projeto

E.L.U. Aço dobrado	ABNT NBR 14762
E.L.S. Aço dobrado	ABNT NBR 14762

Categoria de uso da edificação: Edificações comerciais, de escritórios e de acesso público.



1.4.2 Combinações

Descrição das cargas atuantes na estrutura

Ações permanentes	Descrição	Valor
PP componentes	Peso próprio devido a telhas, parafusos, etc.	12kgf/m²
Ações variáveis		
SCU Utilização	Sobrecarga de utilização por norma	25kgf/m²

Nota: o peso próprio das barras de aço é calculado automaticamente pelo *software*.

1.4.3 Combinações de cargas para a edificação (E.L.U.)

Comb.	PP	Peso da telha	Sobrecarga
1	1.000	1.000	
2	1.250	1.000	
3	1.000	1.250	
4	1.250	1.250	
5	1.000	1.000	1.500
6	1.250	1.000	1.500
7	1.000	1.250	1.500
8	1.250	1.250	1.500

2 ESTRUTURA

2.1 Elementos estruturais

2.1.1 Tabela resumo - barras de aço

Tabela resumo - barras de aço						
Material		Série	Perfil	Comprimento	Volume	Peso
Tipo	Designação			Perfil	Perfil	Perfil
				(m)	(m³)	(kg)
Aço dobrado	CF-26	Retangular	15 x 50 x 3.0	72,637	0,083	650,18
		Quadrada	50 x 50 x 3.0	109,907	0,059	466,13
Total				182,543	0,142	1.116,32



2.1.2 Quantitativos de superfícies

Aço laminado: Quantitativos das superfícies a pintar				
Série	Perfil	Superfície unitária (m ² /m)	Comprimento (m)	Superfície (m ²)
Retangular	15 x 50 x 3.0	0,389	72,637	28,288
Quadrada	50 x 50 x 3.0	0,189	109,907	20,821
Total				49,110

2.2 Resultados


2.2.1 Barras de aço

2.2.1.1 Verificações E.L.U. (Completo)

Abaixo são apresentadas as verificações, tanto para a viga quanto para a coluna, respectivamente, mais solicitadas da edificação.

A seguir é apresentada uma tabela resumida com as verificações de todas as vigas e colunas da edificação.

Barra N150/N127

Perfil: # 15.0x5.0x8.96							
Material: Aço (CF-26)							
	Nós		Comprimento (m)	Características mecânicas			
	Inicial	Final		Área (cm²)	I _x ⁽¹⁾ (cm4)	I _y ⁽¹⁾ (cm4)	I _t ⁽²⁾ (cm4)
	N150	N127	2.105	11.40	298.07	52.50	150.13
	Notas:						
	⁽¹⁾ Inércia em relação ao eixo indicado						
	⁽²⁾ Momento de inércia à torção uniforme						
		Flambagem		Flambagem lateral			
		Plano ZX	Plano ZY	Aba sup.	Aba inf.		
	b	1.00	1.00	1.00	1.00		
	L _K	2.105	2.105	2.105	2.105		
	C _m	-	-	1.000	1.000		
C _b	-		1.000				
Notação:							
b: Coeficiente de flambagem							
L _K : Comprimento de flambagem (m)							
C _m : Coeficiente de momentos							
C _b : Fator de modificação para o momento crítico							

Valores máximos da relação comprimento-espessura (ABNT NBR 14762:2010 Artigo 9.1.2 Tabela 4)

Elemento: Alma

Em elementos comprimidos com ambas as bordas vinculadas a elementos AA, a relação largura-espessura não deve ultrapassar o valor 500.

(b/t) : 46 ✓



Sendo:

b: Comprimento do elemento.

b : 138.00 mm

t: A espessura.

t : 3.00 mm

Elemento: Alma

Em elementos comprimidos com ambas as bordas vinculadas a elementos AA, a relação largura-espessura não deve ultrapassar o valor 500.

(b/t) : 13 ✓

Sendo:

b: Comprimento do elemento.

b : 38.00 mm

t: A espessura.

t : 3.00 mm

Limitação de esbeltez (ABNT NBR 14762:2010, Artigo 9.7.4)

O índice de esbeltez I das barras comprimidas não deve exceder o valor 200.

I_{xx} : 41.2 ✓
 I_{yy} : 98.1 ✓

Onde:

$K_x L_x$: Comprimento efetivo de flambagem por flexão em relação ao eixo X.

$K_x L_x$: 2.105 m

$K_y L_y$: Comprimento efetivo de flambagem por flexão em relação ao eixo Y.

$K_y L_y$: 2.105 m

r_x : Raio de giração da seção bruta em relação ao eixo principal X.

r_x : 5.11 cm

r_y : Raio de giração da seção bruta em relação ao eixo principal Y.

r_y : 2.15 cm

Resistência à tração (ABNT NBR 14762:2010, Artigo 9.6)

A verificação não será executada, já que não existe esforço axial de tração.

Resistência à compressão (ABNT NBR 14762:2010, Artigo 9.7)



Deve satisfazer:

$$h : \underline{0.004} \quad \checkmark$$

O esforço solicitante de cálculo desfavorável produz-se no nó N150,
para a combinação de ações
1.25·PP+1.25·Pesodatelha+1.5·Sobrecarga.

$N_{c,sd}$: Força normal de compressão solicitante de cálculo.

$$N_{c,sd} : \underline{0.62} \quad \text{kN}$$

A força normal de compressão resistente de cálculo $N_{c,Rd}$ deve ser
tomada como:

$$N_{c,Rd} : \underline{145.31} \quad \text{kN}$$

Onde:

A_{ef} : Área efetiva da seção transversal da barra.

$$A_{ef} : \underline{11.40} \quad \text{cm}^2$$

c : Fator de redução associado à
flambagem,

$$C_{xx} : \underline{0.91}$$

$$C_{yy} : \underline{0.59}$$

$$C_{zz} : \underline{1.00}$$

Sendo:

l_0 : Índice de esbeltez reduzido para barras
comprimidas.

$$l_{0, xx} : \underline{0.47}$$

$$l_{0, yy} : \underline{1.13}$$

$$l_{0, zz} : \underline{0.09}$$

Sendo:

N_e : Força normal de flambagem elástica da
barra, conforme 9.7.2.

A : Área bruta da seção transversal da barra.

$$A : \underline{11.40} \quad \text{cm}^2$$

f_y : Tensão de escoamento.

$$f_y : \underline{260.00} \quad \text{MPa}$$

g : Coeficiente de ponderação das resistências.

$$g : \underline{1.2}$$

A força normal de flambagem elástica N_e é o menor valor entre os
obtidos por a), b) e c):

$$N_e : \underline{233.80} \quad \text{kN}$$



a) Força normal de flambagem elástica por flexão em relação ao eixo X.

$$N_{ex} : \underline{1327.40} \text{ kN}$$

b) Força normal de flambagem elástica por flexão em relação ao eixo Y.

$$N_{ey} : \underline{233.80} \text{ kN}$$

c) Força normal de flambagem elástica por torção.

$$N_{ez} : \underline{37607.81} \text{ kN}$$

Onde:

I_x : Momento de inércia da seção bruta em relação ao eixo X.

$$I_x : \underline{298.07} \text{ cm}^4$$

I_y : Momento de inércia da seção bruta em relação ao eixo Y.

$$I_y : \underline{52.50} \text{ cm}^4$$

I_t : Momento de inércia à torção uniforme.

$$I_t : \underline{150.13} \text{ cm}^4$$

C_w : Constante de empenamento da seção.

$$C_w : \underline{309.12} \text{ cm}^6$$

E : Módulo de elasticidade.

$$E : \underline{200000} \text{ MPa}$$

G : Módulo de elasticidade transversal.

$$G : \underline{76923} \text{ MPa}$$

$K_x L_x$: Comprimento efetivo de flambagem por flexão em relação ao eixo X.

$$K_x L_x : \underline{2.105} \text{ m}$$

$K_y L_y$: Comprimento efetivo de flambagem por flexão em relação ao eixo Y.

$$K_y L_y : \underline{2.105} \text{ m}$$

$K_z L_z$: Comprimento efetivo de flambagem por torção.

$$K_z L_z : \underline{2.105} \text{ m}$$

r_0 : Raio de giração polar da seção bruta em relação ao centro de torção.

$$r_0 : \underline{5.54} \text{ cm}$$

Sendo:

r_x, r_y : Raios de giração da seção bruta em relação aos eixos principais de inércia X e Y, respectivamente.

$$r_x : \underline{5.11} \text{ cm}$$

$$r_y : \underline{2.15} \text{ cm}$$

x_0, y_0 : Coordenadas do centro de torção na direção dos eixos principais X e Y, respectivamente, em relação ao centróide da seção.

$$x_0 : \underline{0.00} \text{ mm}$$

$$y_0 : \underline{0.00} \text{ mm}$$

Resistência à flexão eixo X (ABNT NBR 14762:2010, Artigo 9.8.2)



Deve satisfazer:

$$h : \underline{0.537} \quad \checkmark$$

O momento fletor desfavorável de cálculo M_{Sd} é obtido para o nó N127, para a combinação de hipóteses 1.25·PP+1.25·Pesodatelha+1.5·Sobrecarga.

$$M_{Sd} : \underline{5.05} \quad \text{kN}\cdot\text{m}$$

O momento fletor resistente de cálculo M_{Rd} deve ser tomado como o menor valor calculado em a) y b):

$$M_{Rd} : \underline{9.39} \quad \text{kN}\cdot\text{m}$$

a) Início de escoamento da la seção efetiva (9.8.2.1)

$$M_{Rd} : \underline{9.39} \quad \text{kN}\cdot\text{m}$$

Onde:

W_{ef} : Módulo de resistência elástico da seção efetiva calculado com base nas larguras efetivas dos elementos, conforme 9.2, com s calculada para o estado limite último de escoamento da seção.

f_y : Tensão de escoamento.

g : Coeficiente de ponderação das resistências.

$$W_{ef} : \underline{39.74} \quad \text{cm}^3$$
$$f_y : \underline{260.00} \quad \text{MPa}$$

$$g : \underline{1.1}$$

b) Flambagem lateral com torção (9.8.2.2)

$$M_{Rd} : \underline{9.39} \quad \text{kN}\cdot\text{m}$$

Onde:

$W_{c,ef}$: Módulo de resistência elástico da seção efetiva em relação à fibra comprimida, calculado com base nas larguras efetivas dos elementos, conforme 9.2, adotando $s = c_{FLT}f_y$.

f_y : Tensão de escoamento.

g : Coeficiente de ponderação das resistências.

c_{FLT} : Fator de redução associado à flambagem lateral com torção.

$$W_{c,ef} : \underline{39.74} \quad \text{cm}^3$$
$$f_y : \underline{260.00} \quad \text{MPa}$$

$$g : \underline{1.1}$$

$$^{(1)}c_{FLT} : \underline{1.00}$$



Sendo:

$$I_0 : \underline{0.25}$$

W_c: Módulo de resistência elástico da
seção bruta em relação à fibra comprimida.

$$W_c : \underline{39.74} \text{ cm}^3$$

O momento fletor de flambagem lateral com torção **M_e**, em regime elástico, pode ser calculado pela seguinte expressão para barras com seccção fechada (caixão), sujeitas à flexão em torno do eixo X:

$$M_e : \underline{164.32} \text{ kN}\cdot\text{m}$$

Onde:

C_b: Coeficiente de equivalência de momento na flexão.

$$C_b : \underline{1.00}$$

$$N_{ey} : \underline{233.80} \text{ kN}$$

I_y: Momento de inércia da seção bruta em relação ao eixo Y.

$$I_y : \underline{52.50} \text{ cm}^4$$

I_t: Momento de inércia à torção uniforme.

$$I_t : \underline{150.13} \text{ cm}^4$$

E: Módulo de elasticidade.

$$E : \underline{200000} \text{ MPa}$$

G: Módulo de elasticidade transversal.

$$G : \underline{76923} \text{ MPa}$$

K_yL_y: Comprimento efetivo de flambagem lateral.

$$K_y L_y : \underline{2.105} \text{ m}$$

r₀: Raio de giração polar da seção bruta em relação ao centro de torção.

$$r_0 : \underline{5.54} \text{ cm}$$

Sendo:

r_x, r_y: Raios de giração da seção bruta em relação aos eixos principais de inércia X e Y, respectivamente.

$$r_x : \underline{5.11} \text{ cm}$$

$$r_y : \underline{2.15} \text{ cm}$$

x₀, y₀: Coordenadas do centro de torção na direção dos eixos principais X e Y, respectivamente, em relação ao centróide da seção.

$$x_0 : \underline{0.00} \text{ mm}$$

$$y_0 : \underline{0.00} \text{ mm}$$



Resistência à flexão eixo Y (ABNT NBR 14762:2010, Artigo 9.8.2)

A verificação não será executada, já que não existe momento fletor.

Resistência ao esforço cortante X (ABNT NBR 14762:2010, Artigo 9.8.3)

Deve satisfazer:

$$h < 0.001 \quad \checkmark$$

O esforço cortante solicitante de cálculo desfavorável V_{Sd} produz-se para a combinação de hipóteses PP+1.25·Pesodatelha+1.5·Sobrecarga.

$$V_{Sd} : 0.01 \text{ kN}$$

A seção é composta por duas almas iguais. Sobre cada uma delas, o esforço de cálculo é $V_{Sd} = 0.5 V_{Sd}$.

$$V_{Sd} : 0.01 \text{ kN}$$

A força cortante resistente de cálculo da alma V_{Rd} deve ser calculada por:

$$^{(1)}V_{Rd} : 16.17 \text{ kN}$$

para

$$1.08(EK_v/f_y)^{0.5} : 66.98$$

para

$$h/t : 12.67$$

para

$$1.4(EK_v/f_y)^{0.5} : 86.82$$

Onde:

t: Espessura da alma (mm).

$$t : 3.00$$

h: Largura da alma (mm).

$$h : 38.00$$

f_y : Tensão de escoamento (MPa).

$$f_y : 260.00$$

E: Módulo de elasticidade (MPa).

$$E : 200000$$

g: Coeficiente de ponderação das resistências.

$$g : 1.1$$

K_v : Coeficiente de flambagem local por cisalhamento, que para a alma sem enrijecedores transversais é dado por:

$$K_v : 5.00$$

Resistência ao esforço cortante Y (ABNT NBR 14762:2010, Artigo 9.8.3)



Deve satisfazer:

$$h : 0.026 \checkmark$$

O esforço cortante solicitante de cálculo desfavorável V_{sd} produz-se no nó N127, para a combinação de hipóteses 1.25·PP+1.25·Pesodatelha+1.5·Sobrecarga.

$$V_{sd} : 3.06 \text{ kN}$$

A seção é composta por duas almas iguais. Sobre cada uma delas, o esforço de cálculo é $V_{sd} = 0.5 V_{sd}$.

$$V_{sd} : 1.53 \text{ kN}$$

A força cortante resistente de cálculo da alma V_{Rd} deve ser calculada por:

$$^{(1)}V_{Rd} : 58.71 \text{ kN}$$

para

$$1.08(EK_v/f_y)^{0.5} : 66.98$$

para

$$h/t : 46.00$$

para

$$1.4(EK_v/f_y)^{0.5} : 86.82$$

Onde:

t: Espessura da alma (mm).

$$t : 3.00$$

h: Largura da alma (mm).

$$h : 138.00$$

f_y : Tensão de escoamento (MPa).

$$f_y : 260.00$$

E: Módulo de elasticidade (MPa).

$$E : 200000$$

g: Coeficiente de ponderação das resistências.

$$g : 1.1$$

K_v : Coeficiente de flambagem local por cisalhamento, que para a alma sem enrijecedores transversais é dado por:

$$K_v : 5.00$$

Resistência ao momento fletor X e esforço cortante Y combinados (ABNT NBR 14762:2010, Artigo 9.8.4)

Os esforços de cálculo desfavoráveis M_{sd} e V_{sd} são obtidos no nó N127, para a combinação de hipóteses 1.25·PP+1.25·Pesodatelha+1.5·Sobrecarga.

Para barras sem enrijecedores transversais de alma, o momento fletor solicitante de cálculo e a força cortante solicitante de cálculo devem satisfazer à seguinte expressão de interação:



$h : 0.289$ ✓

Onde:

M_{sd} : Momento fletor solicitante de cálculo.	$M_{sd} : 5.05$ kN·m
$M_{0,Rd}$: Momento fletor resistente de cálculo conforme 9.8.2.1.	$M_{0,Rd} : 9.39$ kN·m
V_{sd} : Força cortante solicitante de cálculo.	$V_{sd} : 3.06$ kN
V_{Rd} : Força cortante resistente de cálculo conforme 9.8.3.	$V_{Rd} : 117.43$ kN

Resistência ao momento fletor Y e esforço cortante X combinados (ABNT NBR 14762:2010, Artigo 9.8.4)

Não há interação entre o momento fletor e o esforço cortante para nenhuma combinação. Assim a verificação não será executada.

Resistência à flexo-compressão (ABNT NBR 14762:2010, Artigo 9.9)

Os esforços de cálculo desfavoráveis são obtidos no nó N127, para a combinação de hipóteses 1.25·PP+1.25·Pesodatelha+1.5·Sobrecarga.

$h : 0.545$ ✓

Onde:

$N_{c,sd}$: Força normal de compressão solicitante de cálculo.	$N_{c,sd} : 0.57$ kN
$M_{x,sd}, M_{y,sd}$: Momentos fletores solicitantes de cálculo em relação aos eixos X e Y, respectivamente.	$M_{x,sd} : 5.05$ kN·m
	$M_{y,sd} : 0.02$ kN·m
$N_{c,Rd}$: Força normal de compressão resistente de cálculo, conforme 9.7.	$N_{c,Rd} : 145.31$ kN
$M_{x,Rd}, M_{y,Rd}$: Momentos fletores resistentes de cálculo em relação aos eixos X e Y, respectivamente, calculados conforme 9.8.2.	$M_{x,Rd} : 9.39$ kN·m
	$M_{y,Rd} : 4.41$ kN·m

Resistência à flexo-tração (ABNT NBR 14762:2010, Artigo 9.9)

Não há interação entre o esforço axial de tração e o momento fletor para nenhuma combinação. Assim a verificação não será executada.

Resistência à torção (Critério da CYPE Ingenieros)

Deve satisfazer:



Sendo:

b: Comprimento do elemento.

b : 38.00 mm

t: A espessura.

t : 3.00 mm

Limitação de esbeltez (ABNT NBR 14762:2010, Artigo 9.7.4)

É recomendado que o índice de esbeltez **I** das barras tracionadas não exceda o valor 300.

I_{xx} : 103.3 ✓

I_{yy} : 103.3 ✓

Onde:

K_xL_x: Comprimento efetivo de flambagem por flexão em relação ao eixo X.

K_xL_x : 1.956 m

K_yL_y: Comprimento efetivo de flambagem por flexão em relação ao eixo Y.

K_yL_y : 1.956 m

r_x: Raio de giração da seção bruta em relação ao eixo principal X.

r_x : 1.89 cm

r_y: Raio de giração da seção bruta em relação ao eixo principal Y.

r_y : 1.89 cm

Resistência à tração (ABNT NBR 14762:2010, Artigo 9.6)

Deve satisfazer:

h : 0.012 ✓

O esforço solicitante de cálculo desfavorável produz-se no nó N102, para a combinação de ações 1.25·PP+1.25·Pesodatelha+1.5·Sobrecarga.

N_{t,Sd}: Esforço axial de tração solicitante de cálculo, desfavorável.

N_{t,Sd} : 1.53 kN

A força normal de tração resistente de cálculo **N_{t,Rd}** deve ser tomada como:

N_{t,Rd} : 127.70 kN

Onde:



A: Área bruta da seção transversal da barra.

A : 5.40 cm²

f_y: Tensão de escoamento.

f_y : 260.00 MPa

g: Coeficiente de ponderação das resistências.

g : 1.1

Resistência à compressão (ABNT NBR 14762:2010, Artigo 9.7)

A verificação não será executada, já que não existe esforço axial de compressão.

Resistência à flexão eixo X (ABNT NBR 14762:2010, Artigo 9.8.2)

Deve satisfazer:

h : 0.291 ✓

O momento fletor desfavorável de cálculo **M_{sd}** é obtido para o nó N102, para a combinação de hipóteses 1.25·PP+1.25·Pesodatelha+1.5·Sobrecarga.

M_{sd} : 0.53 kN·m

O momento fletor resistente de cálculo **M_{Rd}** deve ser tomado como o menor valor calculado em a) y b):

M_{Rd} : 1.83 kN·m

a) Início de escoamento da la seção efetiva (9.8.2.1)

M_{Rd} : 1.83 kN·m

Onde:

W_{ef}: Módulo de resistência elástica da seção efetiva calculado com base nas larguras efetivas dos elementos, conforme 9.2, com **s** calculada para o estado limite último de escoamento da seção.

W_{ef} : 7.75 cm³

f_y: Tensão de escoamento.

f_y : 260.00 MPa

g: Coeficiente de ponderação das resistências.

g : 1.1

b) Flambagem lateral com torção (9.8.2.2)

M_{Rd} : 1.83 kN·m



Onde:

$W_{c,ef}$: Módulo de resistência elástica da seção efetiva em relação à fibra comprimida, calculado com base nas larguras efetivas dos elementos, conforme 9.2, adotando **$s = c_{FLT}f_y$** .

$$W_{c,ef} : \underline{7.75} \text{ cm}^3$$

f_y : Tensão de escoamento.

$$f_y : \underline{260.00} \text{ MPa}$$

g : Coeficiente de ponderação das resistências.

$$g : \underline{1.1}$$

c_{FLT} : Fator de redução associado à flambagem lateral com torção.

$$^{(1)}c_{FLT} : \underline{1.00}$$

Sendo:

$$I_o : \underline{0.20}$$

W_c : Módulo de resistência elástica da seção bruta em relação à fibra comprimida.

$$W_c : \underline{7.75} \text{ cm}^3$$

O momento fletor de flambagem lateral com torção **M_e** , em regime elástico, pode ser calculado pela seguinte expressão para barras com seção fechada (caixão), sujeitas à flexão em torno do eixo X:

$$M_e : \underline{49.66} \text{ kN}\cdot\text{m}$$

Onde:

C_b : Coeficiente de equivalência de momento na flexão.

$$C_b : \underline{1.00}$$

$$N_{ey} : \underline{99.94} \text{ kN}$$

I_y : Momento de inércia da seção bruta em relação ao eixo Y.

$$I_y : \underline{19.37} \text{ cm}^4$$

I_t : Momento de inércia à torção uniforme.

$$I_t : \underline{32.08} \text{ cm}^4$$

E : Módulo de elasticidade.

$$E : \underline{200000} \text{ MPa}$$

G : Módulo de elasticidade transversal.

$$G : \underline{76923} \text{ MPa}$$

K_yL_y : Comprimento efetivo de flambagem lateral.

$$K_yL_y : \underline{1.956} \text{ m}$$

r_o : Raio de giração polar da seção bruta em relação ao centro de torção.

$$r_o : \underline{2.68} \text{ cm}$$

Sendo:

r_x, r_y : Raios de giração da seção bruta em relação aos eixos principais de inércia X e Y, respectivamente.

$$r_x : \underline{1.89} \text{ cm}$$

$$r_y : \underline{1.89} \text{ cm}$$

$$x_o : \underline{0.00} \text{ mm}$$



x_0, y_0 : Coordenadas do centro de torção na direção dos eixos principais X e Y, respectivamente, em relação ao centróide da seção.

y_0 : 0.00 mm

Resistência à flexão eixo Y (ABNT NBR 14762:2010, Artigo 9.8.2)

A verificação não será executada, já que não existe momento fletor.

Resistência ao esforço cortante X (ABNT NBR 14762:2010, Artigo 9.8.3)

Deve satisfazer:

h : 0.003 ✓

O esforço cortante solicitante de cálculo desfavorável V_{sd} produz-se para a combinação de hipóteses 1.25·PP+1.25·Pesodatelha+1.5·Sobrecarga.

V_{sd} : 0.08 kN

A seção é composta por duas almas iguais. Sobre cada uma delas, o esforço de cálculo é $V_{sd} = 0.5 V_{sd}$.

V_{sd} : 0.04 kN

A força cortante resistente de cálculo da alma V_{Rd} deve ser calculada por:

$^{(1)}V_{Rd}$: 16.17 kN

para

$1.08(EK_v/f_y)^{0.5}$: 66.98

para

h/t : 12.67

para

$1.4(EK_v/f_y)^{0.5}$: 86.82

Onde:

t : Espessura da alma.

t : 3.00 mm

h : Largura da alma.

h : 38.00 mm

f_y : Tensão de escoamento.

f_y : 260.00 MPa

E : Módulo de elasticidade.

E : 200000 MPa

g : Coeficiente de ponderação das resistências.

g : 1.1

K_v : Coeficiente de flambagem local por cisalhamento, que para a alma sem enrijecedores transversais é dado por:

K_v : 5.00



Resistência ao esforço cortante Y (ABNT NBR 14762:2010, Artigo 9.8.3)

Deve satisfazer:

$$h : 0.019 \quad \checkmark$$

O esforço cortante solicitante de cálculo desfavorável V_{sd} produz-se no nó N102, para a combinação de hipóteses 1.25·PP+1.25·Pesodatelha+1.5·Sobrecarga.

$$V_{sd} : 0.61 \text{ kN}$$

A seção é composta por duas almas iguais. Sobre cada uma delas, o esforço de cálculo é $V_{sd} = 0.5 V_{sd}$.

$$V_{sd} : 0.31 \text{ kN}$$

A força cortante resistente de cálculo da alma V_{Rd} deve ser calculada por:

$$^{(1)}V_{Rd} : 16.17 \text{ kN}$$

para

$$1.08(EK_v/f_y)^{0.5} : 66.98$$

para

$$h/t : 12.67$$

para

$$1.4(EK_v/f_y)^{0.5} : 86.82$$

Onde:

t: Espessura da alma.

$$t : 3.00 \text{ mm}$$

h: Largura da alma.

$$h : 38.00 \text{ mm}$$

f_y : Tensão de escoamento.

$$f_y : 260.00 \text{ MPa}$$

E: Módulo de elasticidade.

$$E : 200000 \text{ MPa}$$

g: Coeficiente de ponderação das resistências.

$$g : 1.1$$

K_v : Coeficiente de flambagem local por cisalhamento, que para a alma sem enrijecedores transversais é dado por:

$$K_v : 5.00$$

Resistência ao momento fletor X e esforço cortante Y combinados (ABNT NBR 14762:2010, Artigo 9.8.4)

Os esforços de cálculo desfavoráveis M_{sd} e V_{sd} são obtidos no nó N102, para a combinação de hipóteses 1.25·PP+1.25·Pesodatelha+1.5·Sobrecarga.



Para barras sem enrijecedores transversais de alma, o momento fletor solicitante de cálculo e a força cortante solicitante de cálculo devem satisfazer à seguinte expressão de interação:

$$h : \underline{0.085} \checkmark$$

Onde:

M_{sd} : Momento fletor solicitante de cálculo.

$M_{0,Rd}$: Momento fletor resistente de cálculo conforme 9.8.2.1.

V_{sd} : Força cortante solicitante de cálculo.

V_{Rd} : Força cortante resistente de cálculo conforme 9.8.3.

$$M_{sd} : \underline{0.53} \text{ kN}\cdot\text{m}$$

$$M_{0,Rd} : \underline{1.83} \text{ kN}\cdot\text{m}$$

$$V_{sd} : \underline{0.61} \text{ kN}$$

$$V_{Rd} : \underline{32.33} \text{ kN}$$

Resistência ao momento fletor Y e esforço cortante X combinados (ABNT NBR 14762:2010, Artigo 9.8.4)

Não há interação entre o momento fletor e o esforço cortante para nenhuma combinação. Assim a verificação não será executada.

Resistência à flexo-compressão (ABNT NBR 14762:2010, Artigo 9.9)

Não há interação entre o esforço axial de compressão e o momento fletor para nenhuma combinação. Assim a verificação não será executada.

Resistência à flexo-tração (ABNT NBR 14762:2010, Artigo 9.9)

Os esforços desfavoráveis de cálculo são obtidos no nó N102, para a combinação 1.25·PP+1.25·Pesodelta+1.5·Sobrecarga.

Os esforços devem satisfazer as seguintes expressões de interação:

$$h : \underline{0.340} \checkmark$$

Onde:

$N_{t,sd}$: Força normal de tração solicitante de cálculo.

$M_{x,sd}$, $M_{y,sd}$: Momentos fletores solicitantes de cálculo em relação aos eixos X e Y, respectivamente.

N_{Rd} : Força normal de tração resistente de cálculo conforme 9.6.

$M_{x,Rd}$, $M_{y,Rd}$: Momentos fletores resistentes de cálculo em relação aos eixos X e Y, respectivamente, calculados conforme 9.8.2.

$$N_{t,sd} : \underline{1.53} \text{ kN}$$

$$M_{x,sd} : \underline{0.53} \text{ kN}\cdot\text{m}$$

$$M_{y,sd} : \underline{0.07} \text{ kN}\cdot\text{m}$$

$$N_{Rd} : \underline{127.70} \text{ kN}$$

$$M_{x,Rd} : \underline{1.83} \text{ kN}\cdot\text{m}$$

$$M_{y,Rd} : \underline{1.83} \text{ kN}\cdot\text{m}$$

Resistência à torção (Critério da CYPE Ingenieros)



Deve satisfazer:

h : 0.005 ✓

O momento torsor solicitante de cálculo desfavorável $M_{t,Sd}$ produz-se para a combinação de hipóteses 1.25·PP+Pesodatelha.

$M_{t,Sd}$: 0.01 kN·m

O momento torsor resistente de cálculo $M_{t,Rd}$ é dado por:

$M_{t,Rd}$: 1.86 kN·m

Onde:

W_t : módulo de resistência à torção

W_t : 13.15 cm³

f_y : Tensão de escoamento.

f_y : 260.00 MPa

g : Coeficiente de ponderação das resistências.

g : 1.1

3 CONCLUSÃO

Os resultados obtidos, por meio das verificações realizadas, com base na NBR 14762 e na finalidade de uso da cobertura, mostram que:

- Os esforços solicitantes atuantes na estrutura da cobertura são inferiores aos esforços resistentes, ou seja, em nenhum ponto da estrutura o limite de escoamento do aço foi atingido ou ultrapassado;
- Os deslocamentos previstos para a estrutura, em serviço, são inferiores aos previstos pela norma vigente.

Desta forma, o dimensionamento dos elementos da cobertura atende aos requisitos de segurança no que se refere os estados limites último e de serviço. **Para maiores detalhes dos resultados, ver anexo A.**